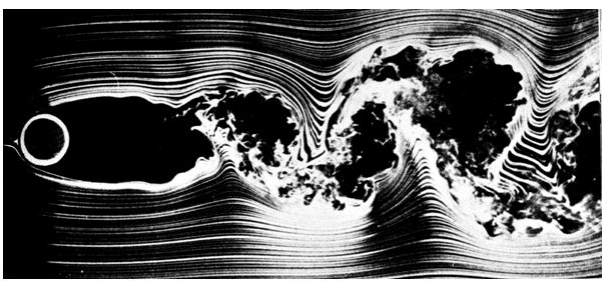
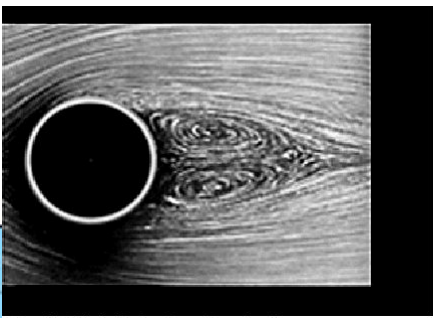
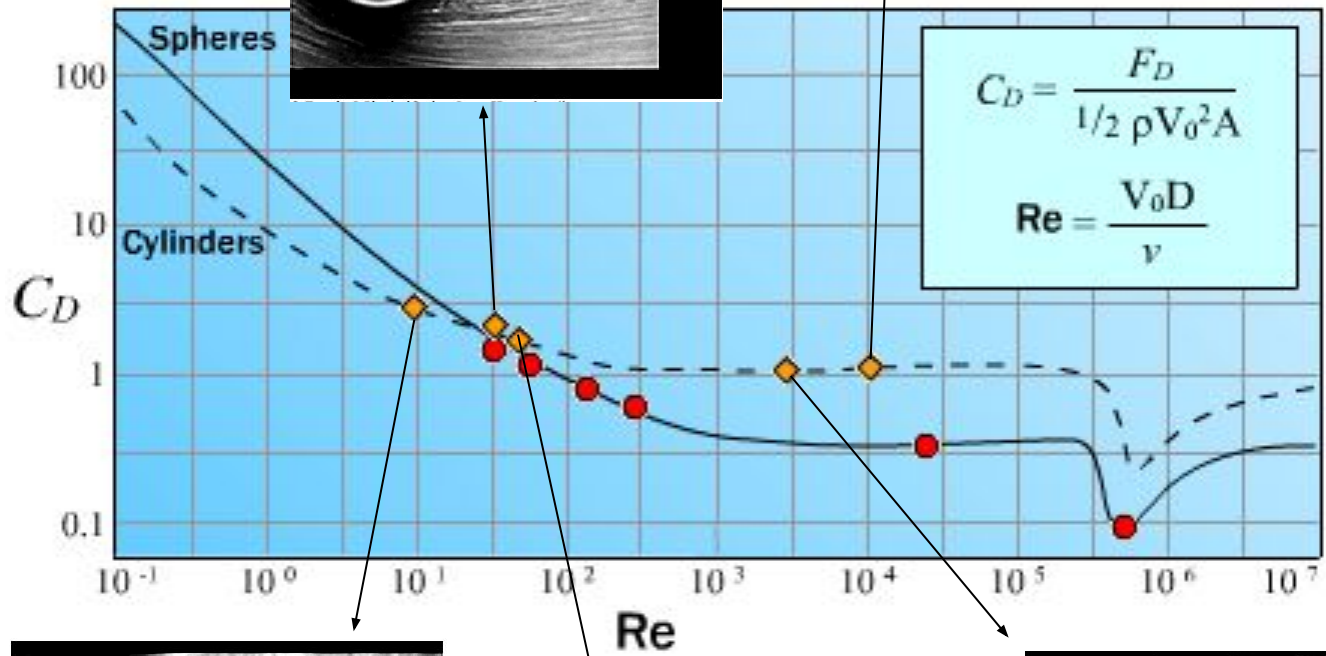


# Режимы обтекания цилиндра

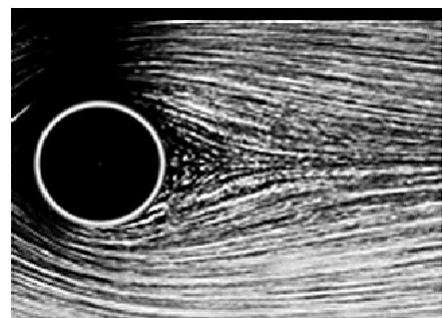
**Re = 26**  
отрывная зона  
отчетливо  
видна



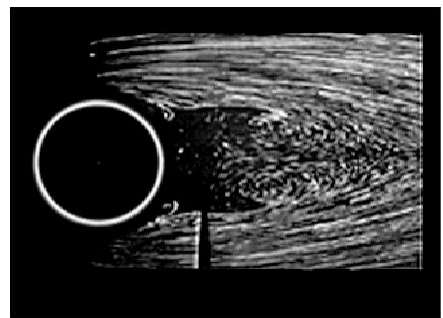
**Re = 10<sup>4</sup>:**  
турбулентный след,  
отрыв ламинарного  
пограничного слоя



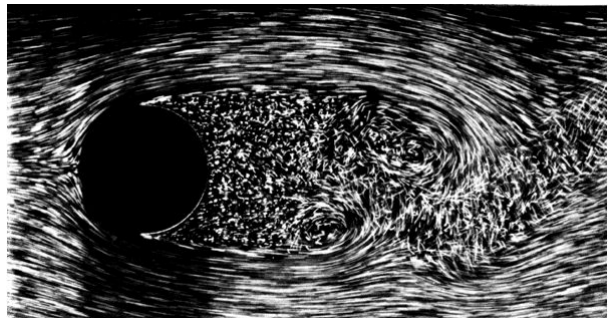
Иллюстрации:  
Multimedia Fluid  
Mechanics (DVD-ROM),  
2nd Edition, G.M.Homsy  
(editor), CUP, 2008



**Re = 9.6:** зарождение  
отрывной зоны



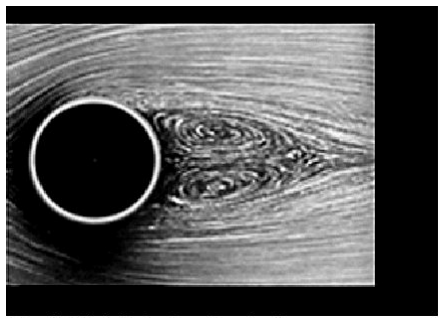
**Re = 30.2:** отрывная зона  
всё ещё стационарна



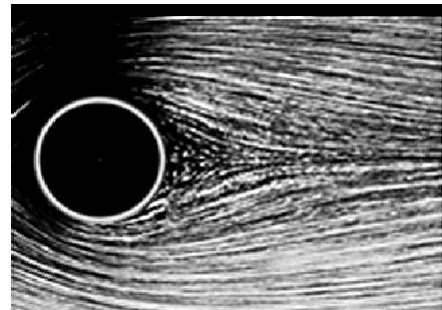
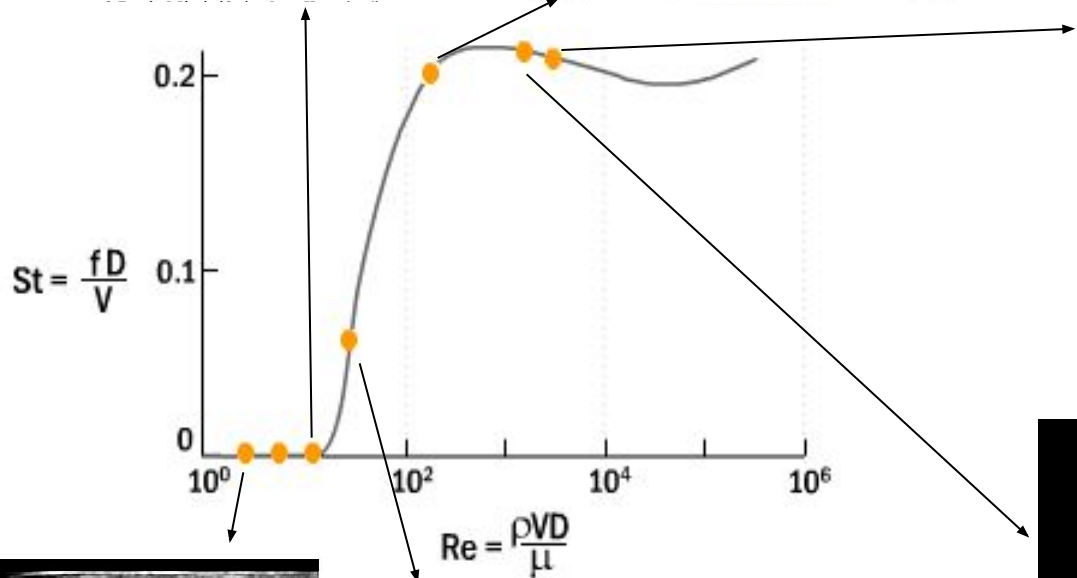
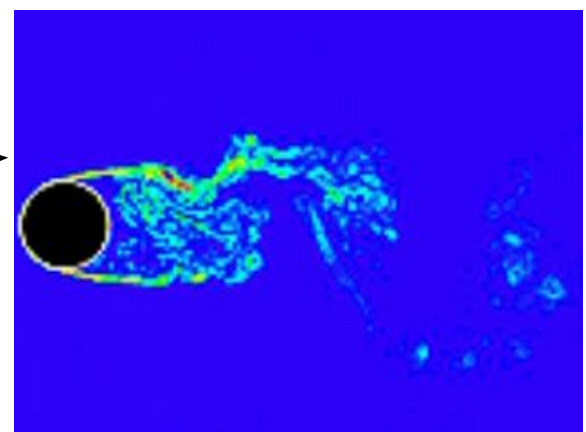
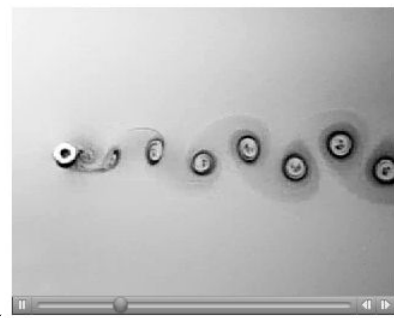
**Re = 2 × 10<sup>3</sup>:** турбулентный след  
(видны крупномасштабные вихри),  
отрыв ламинарного пограничного слоя

# Режимы обтекания цилиндра: число Струхала

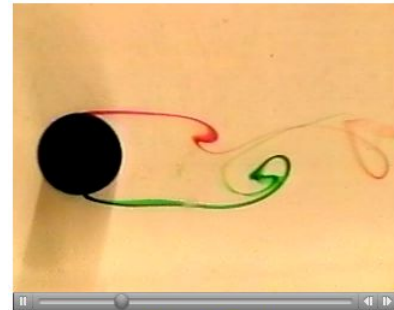
**Re = 26**  
отрывная зона отчетливо видна



**Re = 150:**  
вихревая дорожка Кармана



**Re = 9.6:** зарождение отрывной зоны



**Re = 50:** отрывная зона стала нестационарной

